



The Beta Transmuted Fréchet Distribution: Statistical Inference and Applications

Sami Abdullah Ali Othman^{1,*}

¹Department of Statistics and Information -Faculty of Commerce and Economics - Sana'a University, Sana'a, Yemen.

*Corresponding author: sa773202030mi@gmail.com

Keywords

- | | |
|----------------------------------|---|
| 1. Fréchet distribution | 2. Rank Transmutation Map |
| 3. Beta generalized distribution | 4. Beta Transmuted Fréchet distribution |
| 5. Maximum likelihood estimation | 6. Information Criterion |

Abstract:

This study introduces a novel probability distribution known as the Beta Transmuted Fréchet Distribution (BTFr), which integrates the Rank Transmutation Map (RTM) and Beta Generalized (B-G) techniques with the classical Fréchet (Fr) distribution to enhance the capability and flexibility of statistical modeling for complex data characteristics (e.g., heavy tails and asymmetric skewness). The proposed distribution encompasses several well-known distributions as special cases and is characterized by five parameters, making it more flexible in representing asymmetric skewness and heavy tails compared to classical distributions like the original Fréchet (Fr) and its common generalizations (BFr, TFr, EFr). The study derives the mathematical properties of the new distribution, including survival and hazard functions, moments, quantiles, moment-generating functions, random number generation, and order statistics. Parameter estimation is performed using the maximum likelihood method (MLE), with the observed information matrix employed to estimate approximate variances of the estimators and construct confidence intervals. A simulation study evaluates the performance of the estimators in finite samples and analyzes their asymptotic efficiency, demonstrating their consistency and efficiency. The study also includes a practical application to two real-world datasets to illustrate the significance, efficiency, and utility of the proposed distribution in modeling complex data. The performance of BTFr is compared to its sub-distributions using well-known goodness-of-fit tests and likelihood ratio (LR) tests. The results confirm the superior fit and statistical significance of BTFr in representing and modeling extreme-value data, with the additional parameters providing a meaningful improvement in flexibility compared to its sub-distributions. The study recommends using this distribution in fields such as financial risk analysis and engineering reliability.



توزيع بيتا- فرشت المُحول: الاستدلال الإحصائي والتطبيقات

سامي عبد الله علي عثمان^{1*}

قسم الإحصاء والمعلومات ، كلية التجارة والاقتصاد - جامعة صنعاء ، صنعاء ، اليمن.

*المؤلف: sa773202030mi@gmail.com

الكلمات المفتاحية

- | | |
|-------------------------------|-----------------------------------|
| 1. توزيع فرشت(Fr) | 2. خريطة تحويل الرتبة (RTM) |
| 3. توزيع بيتا المعمم (B-G) | 4. توزيع بيتا فرشت المُحول (BTFr) |
| 5. طريقة الإمكان الأعظم (MLE) | 6. معايير جودة المطابقة (IC) |

الملخص:

نُقدم في هذه الدراسة، توزيعًا احتمالياً جديداً يُعرف باسم توزيع بيتا فرشت المُحول (Beta Transmuted Fréchet(BTFr)، الذي يدمج بين تقنيتي خريطة تحويل الرتبة Rank Transmutation Map (B-G) وعميم بيتا (RTM) وعميم بيتا Fréchet(Fr)، لتعزيز القدرة والمرنة على النمذجة الإحصائية للبيانات ذات الخصائص المعقدة. يتضمن التوزيع المقترن عدد من التوزيعات المعروفة كحالات خاصة، وينتَج بخمس معلمات، مما يجعله أكثر مرنة في تمثيل البيانات ذات الانحراف غير المنتظم والذيل التقليد مقارنة بالتوزيعات الكلاسيكية مثل توزيع فرشت الاصلي (Fr) وعميماته الشائعة مثل (BFr ، TFr ، EFr) . اشتملت الدراسة على اشتقاء الخصائص الرياضية للتوزيع الجديد (بما في ذلك دوال البقاء، معدل الخطر، العزوم، الكميّات ودوال توليد العزوم، والأرقام العشوائية وإحصاءات الترتيب)، تقدير المعلمات بطريقة الإمكان الأعظم (MLE)، مع حساب مصفوفة المعلومات المرصودة لتقدير التباينات التقريرية للمقدرات، وبناء فترات الثقة التقريرية، كما أجرينا دراسة للمحاكاة لتقدير المقدرات في العينات المحدودة ولتحليل الكفاءة المقاربة لها، وأظهرت النتائج اتساقًا وكفاءة تقاريرية للمقدرات، كما تضمنت الدراسة تطبيق عملية على مجموعتين من البيانات الحقيقية لتوضيح أهمية وكفاءة وفائدة التوزيع المقترن في نمذجة البيانات ذات الخصائص المعقدة باستخدام اختبارات جودة التطابق الشهيرة، مع تقييم أدائه بالمقارنة مع التوزيعات الفرعية باستخدام معايير جودة الملاءمة واختبار نسبة الاحتمالية (LR) . وأكدت النتائج جودة مطابقة وتفوقًا معنوياً لتوزيع (BTFr) في تمثيل ونمذجة البيانات المتطرفة، كما أن إضافة المعلمات الإضافية وفر تحسناً معنوياً في مرنة توزيع (BTFr) عند مقارنته مع توزيعاته الفرعية. كما أوصت الدراسة باستخدام هذا التوزيع في مجالات تحليل المخاطر المالية والموثوقية الهندسية.

المقدمة:

اقترابه و دراسته بواسطة Nadarajah and Kotz, 2003) كتعيم مباشر، وأظهروا أن لديه مرونة أكبر من توزيع (Fr)، توزيع Beta-Fr الذي يستخدم دالة توزيع بيتا كمولد لتعيم توزيع (Fr) ويحتوي على معلمتين إضافيتين للشكل، ويتضمن توزيعات (Fr) و (EFr) حالات خاصة، تم تقديمها و دراسته في سياق التوزيعات المولدة باستخدام دالة Nadarajah & Gupta, 2004 and Barreto-Souza, et al, 2011 مرونة أكبر من توزيعات (Fr) و (EFr)، كما درس (Mead et al, 2017) توزيع Beta يستخدم Exponential Fréchet(BEFr) والتوزيع المركب BE كمولد لتعيم توزيع (Fr) و يتضمن التوزيعات (Fr) و (EFr) و (BFR) حالات خاصة وأثبتوا تفوق هذا التوزيع على بعض التوزيعات التنافسية الأخرى. بالإضافة إلى ذلك قدم Mahmoud&Mandouh, 2013) توزيع (Fr) كتعيم مباشر لتوزيع Transmuted-Fr باستخدام تقنية خريطة تحويل الرتبة (RTM)، ويحتوي على معلمة شكل إضافية للتحكم في الانحراف، وأظهروا أن لديه مرونة أكبر من توزيع (Elbatal et al, 2014) توزيع (Fr)، كما اقترح (Fr) والذى يستخدم Exponentiated-Fr يستخدم تقنية خريطة تحويل الرتبة (RTM)، وأظهروا أن لديه مرونة أكبر من توزيع (Fr). وبالرغم من وجود العديد من التعيمات السابقة لتوزيع (Fr)، إلا أن هناك حاجة مستمرة لتطوير تعيمات جديدة تقدم مرونة إحصائية محسنة، خصوصاً في نمذجة سلوك الذيل ومعدل الفشل، مع الحفاظ على خصائص

في السنوات الأخيرة، شهد مجال النمذجة الإحصائية تطويراً كبيراً في موضوع التوزيعات المعممة، من أجل تطوير توزيعات احتمالية جديدة أكثر مرونة وقدرة على تمثيل البيانات المعقدة في مختلف المجالات، مثل الهندسة، الاقتصاد، والعلوم البيئية. يُعد توزيع Fréchet Distribution(Fr)، الذي اقترحه عالم الرياضيات الفرنسي (Frechet, 1924) أحد التوزيعات الاحتمالية المهمة في نظرية القيم المتطرفة، وجد هذا التوزيع تطبيقاً واسعاً في نظرية القيمة القصوى، وأُستخدم بشكل واسع في نمذجة الظواهر الطبيعية والهندسية والمالية التي تتضمن قيمًا قصوى مثل الزلازل والفيضانات وتحليل مخاطر الكوارث كسرعة الرياح القصوى وهطول الأمطار السنوي والتغيرات البحرية والتلوث الجوى، (kotz and Nadarajah, 2000) وعلى الرغم من أهمية هذا التوزيع في نمذجة الأحداث المتطرفة ذات الذيل الثقيل إلا أن، الشكل المعياري لتوزيع (Fr) قد لا يكون منزاً بما يكفي لوصف وتمثيل بعض البيانات ذات الخصائص المعقدة التي تتميز بسلوك غير متماثل أو متعدد الانماط.

من هنا برزت الحاجة إلى تعيم توزيع (Fr) لتحسين مرونته في تمثيل بيانات بعض الظواهر المعقدة وزيادة قدرته على التكيف مع مجموعات البيانات المختلفة، مما يوسع نطاق تطبيقاته في مجالات مثل الإحصاء التطبيقي، الاقتصاد، والهندسة. وأقررت دراسة العديد من التعيمات لتوزيع (Fr) في السنوات القليلة الماضية، منها على سبيل المثال لا الحصر: توزيع Exponentiated-Fr، والذي يحتوي على معلمة شكل إضافية تزيد من مرونة التوزيع، تم

كيف يمكن تطوير تعميم جديد لتحسين مرونته وقدرتها على نمذجة البيانات المتطرفة ولتوسيع مجالات تطبيقه وما هي الخصائص الإحصائية والرياضية للتوزيع الجديد وكيف تقارن مع التوزيع الأصلي والتعيميات المعروفة.

الأسئلة البحثية الفرعية:

1. كيف يمكن استخدام تعميم (B-G) وتقنيه (RTM) مع توزيع (Fr) لإنشاء توزيع جديد أكثر مرونة؟ يتمتع بمرونة أكبر في نمذجة البيانات المتطرفة؟

2. ما هي الخصائص الرياضية والإحصائية الأساسية للتوزيع الجديد؟

3. ما هي أفضل الطرق الملائمة لتقدير معلمات (BTFr) وكيف يمكن تقييم أداء هذه المقدرات عبر المحاكاة؟

4. هل يوفر التوزيع المقترن أداءً أفضل في التطبيقات العملية بالمقارنة مع التوزيعات المعممة الأخرى في نمذجة البيانات المتطرفة ذات الخصائص المعقّدة؟ وهل توفر المعلمات المضافة تحسناً معنوياً إحصائياً في مرونة التوزيع الجديد؟

فرضيات الدراسة

فرضية البحث الرئيسية: تفترض الدراسة أن التعميم الجديد (BTFr) سيظهر مرونة إحصائية محسنة في نمذجة البيانات المتطرفة غير المتماثلة ويوفر ملائمة أفضل مقارنة بتوزيع فريشت القياسي والتعيميات الأخرى.

الفرضيات الفرعية:

1. مقدرات الإمكان الأعظم (MLEs) لمعلمات التوزيع المقترن ستتمتع بخصائص الاتساق والكفاءة المقاربة.

التوزيع الأساسية. بالإضافة إلى أنه لا توجد دراسة سابقة تدمج بين تقنيتي خريطة تحويل الرتبة (RTM) وتقنيه بيتا (B-G) لتعميم توزيع فرشت. لذلك تهدف هذه الدراسة إلى تقديم توزيع جديد ومبتكر، يدمج بين تقنيتي (RTM) وعائلة بيتا المعممة (B-G) مع توزيع (Fr)، يشار إليه باسم توزيع بيتا- فرشت المحول (BTFr) من خلال Transmuted Fréchet الذي قدمه (Mahmoud&Mandouh,2013) عائلة بيتا المعممة (B-G).

مشكلة الدراسة وأسئلتها

توزيع (Fr) يواجه تحديات في وصف وتمثيل بعض البيانات ذات الخصائص المعقّدة، التي تتميز بسلوك غير متماثل أو متعدد الانمطان. كما أشارت العديد من الدراسات ومن هذه التحديات محدودية المرونة حيث أظهرت أعمال (Nadarajah&Kotz,2003) أن، توزيع (Fr) يعني من قصور في نمذجة البيانات غير المتماثلة بسبب اعتماده على معلمتين فقط. كما أكد (Mahmoud &Mandouh,2013) أن هذه المحدودية تؤثر على دقة النمذجة في التطبيقات العملية، بالإضافة إلى عدم كفاية التعيميات الحالية مثل (TFr) و (BFr) لبعض أنواع البيانات المتطرفة. كما أشارت إلى ذلك دراسة (Eugene et al,2002). لذا جاءت هذه الدراسة لسد هذه الفجوة عبر تقديم توزيع (BTFr) والذي يجمع بين تقنية تعميم بيتا (إضافة معلمتين) وتقنية التحويل (إضافة معلمة خامسة) على توزيع (Fr).

لذلك تطرح هذه الدراسة السؤال الرئيسي التالي:

المرصودة لتقدير التباينات التقريبية للمقدرات وبناء فترات الثقة التقريبية، مع إجراء دراسة للمحاكاة لتقدير أداء وكفاءة المقدرات، ودقة فترات الثقة.

4. تقديم تطبيق عملي على بيانات حقيقية لتوضيح أهمية وكفاءة التوزيع المقترن في النمذجة الإحصائية ولمقارنة أدائه مع التوزيعات المنافسة.

أهمية الدراسة:

تمثل أهمية هذه الدراسة في سد الفجوات البحثية من خلال:

1. الإسهام في تطوير نظرية التوزيعات الاحتمالية من خلال تقديم تعميم جديد يجمع بين مزايا توزيع (Fr) وتقنية (RTM) وتعميم بيتا (B-G).

2. إثراء الأدبيات الإحصائية المتعلقة بتعميمات توزيع (Fr) في نظرية القيم المتطرفة وفتح آفاق جديدة للبحث المستقبلي.

3. توفير توزيع إحصائي مرن وأكثر دقة لحل مشاكل نمذجة وتحليل البيانات المتطرفة ذات الخصائص المعقدة في مجالات متعددة مثل: العلوم البيئية والتحليل المالي وهندسة الموثوقية.

حدود الدراسة ومحدوداتها

حدود الدراسة:

1. تقتصر الدراسة على تحليل توزيع فريشت فقط، وبعض تعميماته دون مقارنة شاملة مع جميع تعميماته الموجودة في الأدبيات.

2. صعوبة اشتقاق تعبيرات تحليلية مغلقة لبعض الخصائص الإحصائية مما يتطلب استخدام طرق عدديّة.

3. تعقيد الصيغ الرياضية لـ (BTFr) قد يزيد من صعوبة التحليل و يجعل تقديرات المعلمات أكثر صعوبة تحليلياً مقارنة بالتوزيعات البسيطة وهذا

وهذا يؤدي إلى مقدرات ذات خطأ معياري قليل لذلك فإن النموذج سيمثل البيانات تمثيلاً جيداً

2. معايير المعلومات (مثل المعايير المعلوماتية واختبارات جودة الملاءمة) ستظهر تفوقاً معنوياً لـ (BTFr) في ملاءمة مجموعات بيانات حقيقية مختارة مقابل التوزيع الاصلي (Fr) وتوزيع (TFr) وتوزيع (BFr).

3. اختبارات نسبة الاحتمالية ستظهر أن المعلمات الإضافية تحسن معنوياً من مرونة التوزيع عند مقارنته مقابل توزيعاته الفرعية.

أهداف الدراسة:

الهدف العام: يهدف هذا البحث إلى تطوير توزيع احتمالي جديد يسمى توزيع بيتا- فرشت المحوّل Beta Transmuted Fréchet (BTFr) Distribution، يمتلك مرونة أعلى في نمذجة البيانات المتطرفة مقارنة بالتوزيعات الكلاسيكية بالإضافة إلى قدرة تحسينية على تمثيل البيانات غير المتماثلة ويعتمد على خمس معلمات تسمح بضبط دقيق لسلوك الذيل.

الأهداف الفرعية:

1. استخدام عائلة (B-G) التي اقترحها (Eugene et al,2002) والمقدم بواسطة (Mahmoud&Mandouh,2013) لبناء التوزيع الجديد بيتا- فرشت المحوّل (BTFr) وشتقاقه الخصائص الرياضية للتوزيع المقترن كدوال البقاء ومعدل الخطر، العزوم والكميات، دوال توليد العزوم والأرقام العشوائية وإحصاءات الترتيب.

3. تقدير معلمات التوزيع المقترن بطريقة الإمكان الأعظم (MLE)، وحساب مصفوفة معلومات فيشر

تقنية لتعيم التوزيعات الاحتمالية، عن طريق إضافة معلمة تحكم لتحسين المرونة (Shaw and Buckley,2009)، وتعطى بالصيغة التالية:

$$G_{T-G}(x) = G(x)[1 + \lambda - \lambda G(x)] \quad (3)$$

$$g_{T-G}(x) = g(x)[1 + \lambda - 2\lambda G(x)] \quad (4)$$

حيث $1 \leq \lambda$ | هي معلمة التحويل.

وبطبيق (T-G) على توزيع (Fr) نحصل على توزيع فرشت المحوول (TFr) (Mahmoud&Mandouh,2013) وتعطى (PDF) لهذا التوزيع كما يلي (من أجل $x > 0$):

$$g_{TFr}(x) = \mu \sigma^\mu x^{-(\mu+1)} e^{-(\frac{\sigma}{x})^\mu} \left[1 + \lambda - 2\lambda e^{-(\frac{\sigma}{x})^\mu} \right] \quad (5)$$

$$G_{TFr}(x) = e^{-(\frac{\sigma}{x})^\mu} \left[1 + \lambda - \lambda e^{-(\frac{\sigma}{x})^\mu} \right] \quad (6)$$

حيث: $\sigma > 0$ هي معلمة المقاييس و $\mu > 0$ و $1 \leq \lambda$ | بما على التوالي معلمتى الشكل و التحويل.

3. تعيم بيتا (B-G) هي تقنية إحصائية لتعيم التوزيعات عن طريق إضافة معلمتى شكل إضافيتين لزيادة المرونة (Eugene et al, 2002) وتعد من أكثر طرق التعيم شيوعا في الإحصاء، وتعطى بالصيغة التالية لنفترض أن $G(x)$ هي CDF لمتغير عشوائي X ، فسيتم تعريف CDF لعائلة التوزيعات (B-G)

$$f(x; \sigma, \mu) = \mu \sigma^\mu x^{-(\mu+1)} e^{-(\frac{\sigma}{x})^\mu}, x > 0 \quad (1)$$

$$F(x; \sigma, \mu) = e^{-(\frac{\sigma}{x})^\mu}, x > 0 \quad (2)$$

بواسطة $(x > 0)$

يتطلب استخدام خوارزميات تحسين عدبية لتقدير المعلمات.

4. اقتصار التطبيقات العملية على مجال تحليل ونمذجة بيانات الموثوقية والقيم المتطرفة.

محددات الدراسة:

1. تقتصر الدراسة على استخدام تقنيتين فقط لتعيم بما عائلة التحويل التربيعي وتعيم بيتا لتوزيع فرشت (دون استخدام تقنيات تعيم أخرى)

2. اقتصار منهجية التقدير على طريقة التقدير الأكثر شيوعا وهي طريقة الإمكان الأعظم دون النظر إلى طرق تقدير أخرى

3. اقتصار التحليل الإحصائي في الجانب التطبيقي على اختبارات جودة المطابقة ومعايير المعلومات واختبار نسبة الاحتمالية دون النظر إلى مقاييس التنبؤ وتحليل البقاء.

التعريفات الاصطلاحية والإجرائية:

اشتملت الدراسة على التعريفات الاصطلاحية والإجرائية الآتية:

1. توزيع فرشت (Fréchet Distribution): هو توزيع احتمالي مستمر لنمذجة القيم المتطرفة، يستخدم في تحليل البيانات ذات الذيل الثقيل (Nadarajah and Kotz,2003)، تعطى دالة الكثافة الاحتمالية (PDF) ودالة التوزيع التراكمية (CDF) لتوزيع (Fr) (والذى يشار إليه بواسطة $f(x; \sigma, \mu)$ على النحو التالي (من أجل $x > 0$)): حيث: $\sigma > 0$ و $\mu > 0$ بما على التوالي معلمتى المقاييس (shape) و الشكل (scale).

2. خريطة تحويل الربطة (RTM) Transmutation Map

، Beta Transmuted Gumball.(توزيع 2019) من خلال تعميم توزيع Transmuted Gumball وقدم Beta (Chhetri et al,2017) توزيع (هريرة و العبيد، درس Transmuted Pareto ، Beta Transmuted Lomax (توزيع 2020) (PAL and TIENSVWAN,2014) ودرس توزيع Beta Transmuted Weibull واقتراح (هريرة و العبيد، (توزيع 2020) توزيع Beta Transmuted Power . ونحن بدورنا سنقوم بتعميم توزيع (TFr) باستخدام عائلة (B-G) التي اقترحها (Eugene et al,2002) الجديد توزيع بيتا- فرشت المحول (BTFr) ونقدم وصفاً لبعض خصائصه الرياضية، وتطبيقه لتحليل مجموعات البيانات الحقيقية.

4. توزيع بيتا- فرشت المحول (BTFr) هو توزيع احتمالي مستمر يتم اشتقاقه من خلال تعميم توزيع (TFr) باستخدام تقنية (B-G).

5. طريقة الإمكان الأعظم (MLE): طريقة تقدير إحصائي تعمل على إيجاد قيم المعلمات المجهولة التي تعظم دالة الإمكان المشتقة من بيانات العينة.

6. المحاكاة: تقنية حسابية تعتمد على تكرارأخذ العينات العشوائية لدراسة الخصائص الإحصائية وتقدير أداء المقدرات.

7. معايير جودة الملاعمة (IC): معايير إحصائية لمقارنة النماذج تجمع بين دقة الملاعمة وعدد المعلمات المقدرة وهي: معيار معلومات Akaika (AIC)، Mعيار معلومات Akaika Corrected (CAIC)، Mعيار معلومات Bayesian (BIC)،

$$\begin{aligned} F(x) &= I_{G(x)}(\mathbf{a}, \mathbf{b}) \\ &= \frac{1}{B(\mathbf{a}, \mathbf{b})} \int_0^{G(x)} t^{a-1} (1-t)^{b-1} dt, \end{aligned} \quad (7)$$

حيث : $a > 0, b > 0$ هما معلمات إضافية للشكل و $I_{G(x)}(\mathbf{a}, \mathbf{b}) = \frac{B_{G(x)}(\mathbf{a}, \mathbf{b})}{B(\mathbf{a}, \mathbf{b})}$ تشير إلى دالة (incomplete beta ratio) و $B_u(\mathbf{a}, \mathbf{b}) = \int_0^u t^{a-1} (1-t)^{b-1} dt$ فتشير إلى دالة (incomplete beta) هي دالة بيتا، أما $\Gamma(\cdot)$ فهي دالة جاما . وفي المقابل، يتم تعريف PDF لعائلة التوزيعات (B-G) بواسطة ($x > 0$):

$$\begin{aligned} f(x) &\equiv \dot{F}(x) \\ &= \frac{g(x)}{B(\mathbf{a}, \mathbf{b})} \cdot [G(x)]^{a-1} \\ &\quad \cdot [1 - G(x)]^{b-1}. \end{aligned} \quad (8)$$

حيث $g(x) = \frac{dG(x)}{dx}$ تشير إلى PDF للتوزيع الأساسي، وعندما تكون $a = b = 1$ نحصل على PDF للتوزيع الأساسي. ومن السمات الجذابة لهذه العائلة هو أن المعلمات الإضافية للشكل a, b يمكنها التحكم في الانحراف ووزن الذيل للتوزيع المولد، كما أنها توفر مرونة أكبر في شكل التوزيع المتولد وبالتالي في نمذجة البيانات المرصودة. حظيت عائلة (B-G) باهتمام كبير على مدار السنوات القليلة الماضية، على وجه الخصوص بعد الدراسات التي أجرتها (Eugene et al, 2002) و (Jones, 2004)، وأُستخدمت من قبل العديد من المهتمين والباحثين لاقتراح تعميمات للعديد من التوزيعات المعروفة. على سبيل المثال: اقترح (Mead et al, 2017) توزيع Beta Exponential Fréchet (B-G) كتعميم للتوزيع المركب Exponential Fréchet باستخدام عائلة (B-G) اقترح (أحمد هريرة ،

الخصائص الرياضية والإحصائية للتوزيع الجديد كالعزم والدالة المولدة للعزم وإحصاءات الترتيب ودالة الكميّات ودالة التوليد.

المرحلة الثانية: التقدير الإحصائي والمحاكاة 1. صياغة دالة الإمكان اللوغاريتمية للتوزيع وتقدير الإمكان الأعظم للمعلمات مع تحسين عددي باستخدام خوارزمية نيوتن- رافسون

2. استخدام مصفوفة المعلومات المرصودة لتقدير التباينات التقريرية للمقدرات، وبناء فترات الثقة التقريرية للمعلمات

3. استخدام المحاكاة لتوليد بيانات عشوائية من التوزيع وتطبيق طريقة تقدير الإمكان على البيانات المتولدة ثم تقييم أداء المقدرات باستخدام مقاييس مثل الانحراف والخطأ المعياري ومتوسط مربعات الخطأ والتحقق من دقة واتساق المقدرات.

المرحلة الثالثة: التطبيق العملي والمقارنة

4. التطبيقات العملية على مجموعات بيانات حقيقية مختارة لتوضيح كفاءة التوزيع المقترن وتقييم أدائه من خلال اختبارات جودة ملائمة للبيانات ذات الديول الثقيلة والانحرافات الكبيرة.

وتقييم أداء ملائمة التوزيع المقترن وجودته بالمقارنة مع بعض التوزيعات التنافسية الأخرى باستخدام المعايير الإحصائية لجودة الملاءمة. تطبيق اختبار نسبة الاحتمالية لمقارنة التوزيع المقترن مع توزيعاته الفرعية لاختبار المعنوية الإحصائية للمعلمات الإضافية في التوزيع الجديد ومعرفة هل توفر هذه المعلمات تحسناً معنويًّا إحصائياً في مرونة التوزيع المقترن عند مقارنته مع التوزيعات الفرعية وفي امكانية

معلومات (Hannan-Quinn (HQIC) والتى تعطى كما يلي:

$$\begin{aligned} AIC &= 2k - 2l(\hat{\theta}) \\ CAIC &= AIC + \frac{2k(k+1)}{n-k-1} \\ BIC &= \log(n) - 2l(\hat{\theta}) \\ HQIC &= 2k\log(\log(n)) \\ &\quad - 2l(\hat{\theta}) \end{aligned} \quad (9)$$

حيث $(\hat{\theta})$ يشير القيمة العظمى لدالة الإمكان اللوغاريتمية و K هو عدد المعلمات المقطرة، n حجم العينة و θ هي المعلمات. ووفقاً لهذه المعايير يتم اختيار النموذج الذي له أدنى قيمة لهذه المعيار كأفضل نموذج.

منهجية الدراسة وإجراءاتها: اعتمدت هذه الدراسة على منهجية متكاملة ثلاثة الأبعاد تجمع بين :

1. التحليل النظري: لاشتقاق الخصائص الرياضية.

2. التحليل التطبيقي: للمحاكاة والتطبيقات.

3. التحليل المقارن: لتقييم الأداء مقابل التوزيعات التنافسية. وهذا التصميم الثلاثي هو الأمثل لدراسة التوزيعات الاحتمالية الجديدة وفقاً لـ

(Nadarajah and Kotz,2003)

المراحل الإجرائية للمنهجية:

المرحلة الأولى: البناء النظري للتوزيع الجديد

1. مراجعة الأدبيات حول توزيع فرشت وعميماته وتعديمه بيتا.

2. اشتقاق التوزيع الجديد، واشتقاق الخصائص ويشمل تطبيق تقنية التحويل التربيعي على توزيع فرشت ثم تطبيق تقنية تعديم بيتا على الناتج من أجل اشتقاق دالة التوزيع التراكمية وكثافة احتمال التعديم الجديد واشتقاق دالة البقاء ودالة معدل الخطير واشتقاق

$$= \frac{G_{TFR}(x)^a}{aB(a, b)} \cdot {}_2F_1(a, 1-b; a + 1; G_{TFR}(x)) \quad (12)$$

حيث: تشير ${}_2F_1(C, d, e, z) = \sum_{k=0}^{\infty} \frac{(c)_k (d)_k z^k}{k! (e)_k}$ إلى

الدالة الهندسية و $(c)_k$ هو معامل تكراري تصاعدي

ويعطى بالشكل:

$$(c)_k = \begin{cases} c(c+1)(c+2) \dots (c+k-1), & k = 1, 2, \dots \\ 1, & k = 0 \end{cases}$$

وبناءً على (12) فإن خصائص $BTFr(x)$ يمكن من حيث المبدأ أن تتبع خصائص الدالة الهندسية.

(انظر Gradshteyn and Ryzhik, 2000) وباستناد (10) بالنسبة لـ x نحصل على القسم 9.1 PDF والتي ستكون بالصورة التالية: $(x > 0)$

$$f_{BTFr}(x) = \frac{g_{TFR}(x)}{B(a, b)} \cdot G_{TFR}(x)^{a-1} \cdot (1 - G_{TFR}(x))^{b-1} \quad (13)$$

حيث: $g_{TFR}(x) = \frac{d}{dx} G_{TFR}(x)$ وتكون الصيغة التفصيلية (13) بالشكل:

$$f_{BTFr}(x) = \frac{\mu \sigma^\mu x^{-(\mu+1)}}{B(a, b)} e^{-a(\frac{\sigma}{x})^\mu} \cdot \left[1 + \lambda - 2\lambda e^{-(\frac{\sigma}{x})^\mu} \right] \left[1 + \lambda - \lambda e^{-(\frac{\sigma}{x})^\mu} \right]^{a-1} \cdot \left\{ 1 - e^{-(\frac{\sigma}{x})^\mu} \left[1 + \lambda - \lambda e^{-(\frac{\sigma}{x})^\mu} \right] \right\}^{b-1} \quad (14)$$

حيث: $\sigma > 0$ هي معلمة المقاييس (تحكم في الانتشار) و $\mu > 0$ هي معلمة الشكل (تحكم في شكل الذيل) و $0 \leq |\lambda| \leq 1$ هي معلمة التحويل (تحكم في الانحراف) $a, b > 0$ معلمات شكل (تحكم في التركيز والتقرظ) والشكل (1) يوضح بعض منحنيات $f_{BTFr}(x)$ عند قيم مختلفة للمعلمات.

حالات خاصة: يتضمن التوزيع $BTFr(\mu, \sigma, \lambda, a, b)$ عدد من التوزيعات الاحتمالية المعروفة كحالات خاصة. ويوضح الجدول (1) بعضًا منها.

استخدامه كديل ملائم في التطبيقات لنموذج البيانات المعقدة التي تستخدم في العادة مع التوزيعات الأخرى.

5. التحليل الإحصائي:

استخدام برمجيات إحصائية متخصصة مثل برنامج SAS لتنفيذ جميع التحليلات النظرية والتطبيقية.

هيكل البحث:

الفصل الثاني: توزيع بيتا فرشت المحوول

The Beta Transmuted Fréchet Distribution هنا، نقوم باستناد PDF وCDF لـ $BTFr$ ذو خمس معلمات وهي $(\mu, \sigma, \lambda, a, b)$ والذي يشار إليه اختصاراً بـ $BTFr(\mu, \sigma, \lambda, a, b)$ ، واستناد الدوال ذات الصلة كدالة البقاء ودالة معدل الخطر ، واستناد الخصائص الرياضية.

1. استناد PDF وCDF لـ $BTFr$ توزيع

بتطبيق تقنية (B-G) على توزيع فرشت المحوول (Mahmoud & Mandouh, 2013)، (TFr) وبالتعويض عن $G(x)$ في المعادلة (7) بواسطة $G_{TFR}(x)$ ، نحصل على (CDF) كما يلي:

$(x > 0)$

$$F_{BTFr}(x) = \frac{1}{B(a, b)} \int_0^{G_{TFR}(x)} t^{a-1} (1 - t)^{b-1} dt \quad (10)$$

حيث: $a, b > 0$ معلمات شكل $I_{G_{TFR}(x)}(a, b)$ دالة بيتا غير المكتملة. ويمكن التعبير عن $F_{BTFr}(x)$ بشكل مغلق ، باستخدام دالة جاوس الهندسية hyperometric ، cordeiro and على النحو التالي: (انظر Nadarajah, 2011

$$F_{BTFr}(x) = \frac{G_{TFR}(x)^a}{B(a, b)} \sum_{k=0}^{\infty} \frac{(1-b)_k G_{TFR}(x)^k}{k! (a+k)} \quad (11)$$

خصائص التوزيع كالعزوم ودوال توليد العزوم وإحصاءات الترتيب بسهولة من الخصائص المعاشرة في توزيع Fr ، وبالإضافة إلى إيجاد دالة الكميات

ودالة توليد الأرقام العشوائية لتوزيع (BTFr)

3.1 مفهوكات PDF و CDF لـ توزيع BTFr (Expansions for the CDF and PDF)

باستخدام مفهوك ذو الدين المعمم L : $(1 - t)^{b-1}$ والمعطى بالصيغة التالية: (وذلك عندما

$b > 0$ عدد حقيقي غير صحيح و $1 < |t|$

$$(1 - t)^{b-1} = \sum_{j=0}^{\infty} (-1)^j \binom{b-1}{j} t^j \quad (17)$$

حيث: $\binom{b-1}{j} = \frac{(-1)^j \Gamma(b)}{j! \Gamma(b-j)}$ عن $f_{BTFr}(x)$ و $F_{BTFr}(x)$ على صورة مجاميع لانهائية مرجة من تراكميات وكثافات توزيع (exp-TFr) أو على صورة مجاميع لانهائية مرجة من تراكميات وكثافات توزيع قوى فرشت (exp-Fr) ، ثم نستخدم هذه المفهوكات للحصول على توزيع (exp-Fr)، بتطبيق (21) على (10) في توزيع (exp-Fr)، وحساب التكامل نحصل على:

$$F_{BTFr}(x) = \frac{1}{B(a, b)} \sum_{j=0}^{\infty} (-1)^j \binom{b-1}{j} \frac{[G_{TFr}(x)]^{a+j}}{a+j} \quad (18)$$

علاوة على ذلك تكتب المعادلة السابقة بالصورة:

$$F_{BTFr}(x) = \sum_{j=0}^{\infty} t_j H_{a+j}(x) \quad (19)$$

حيث:

$$H_{a+j}(x) = \left\{ e^{-(\frac{\sigma}{x})^{\mu}} \left[1 + \lambda - \lambda e^{-(\frac{\sigma}{x})^{\mu}} \right] \right\}^{a+j}$$

جدول (1): التوزيعات الفرعية لتوزيع BTF

الملام	اسم التوزيع	المؤلف
Nadarajah and Gupta,2004.	(B-Fr) Beta-Fréchet	$\lambda = 0$
Mahmoud and Mandouh,2013	(T-Fr) Transmuted-Fréchet	$a = b = 1$
Nadarajah and Kotz,2003.	Exponentiate d-Fréchet(E-Fr)	$b = 1, \lambda = 0$
Fréchet,1924.	Fréchet(Fr)	$\lambda = 0, a = b = 1$

2. دالة البقاء ومعدل الخطر لتوزيع BTFr

تعطى دالة البقاء $S(x)$ ودالة معدل الخطر $h(x)$ لـ متغير العشوائي X حيث $\sim X$ بالشكل:

$$S_{BTFr}(x) = 1 - F_{BTFr}(x) = \frac{B_{1-G_{TFr}(x)}(b, a)}{B(a, b)} \quad (15)$$

$$h_{BTFr}(x) = \frac{f_{BTFr}(x)}{S_{BTFr}(x)} = \frac{\mu \sigma^{\mu} x^{-(\mu+1)} e^{-a(\frac{\sigma}{x})^{\mu}}}{B_{1-G_{TFr}(x)}(b, a)} \left[1 + \lambda - 2\lambda e^{-(\frac{\sigma}{x})^{\mu}} \right] \left[1 + \lambda - \lambda e^{-(\frac{\sigma}{x})^{\mu}} \right]^{a-1} \left\{ 1 - e^{-(\frac{\sigma}{x})^{\mu}} \left[1 + \lambda - \lambda e^{-(\frac{\sigma}{x})^{\mu}} \right]^{b-1} \right\} \quad (16)$$

ويوضح الشكل (2): بعض منحنيات $h_{BTFr}(x)$ بعض القيم المحددة للمعلمات.

3. خصائص توزيع BTFr (Mathematical Characterizations)

هنا، نشق تمثيلات متسللة لكل من PDF الخاصة بتوزيع (BTFr)، من خلال التعبير عنها على صورة مجاميع لانهائية مرجة من CDFs و PDFs لتوزيع (exp-TFr) أو للتوزيع الأساسي (exp-Fr)، و تعد هذه التمثيلات مهمة ومفيدة لاشتقاق Fr

الخصائص الرياضية لتوزيع BTFr كالعزوم ودوال توليد العزوم وإحصاءات الترتيب بسهولة من الخصائص المناظرة لها في توزيع (Fr).

3.2 العزوم ودالة توزيع العزوم

العزوم مهمة وضرورية في أي تحليل إحصائي، خاصة في التطبيقات، وب بواسطتها يمكن الحصول على أهم سمات وخصائص التوزيع مثل: الوسط والتشتت والانحراف والتفرطح. تعطى العزوم من الرتبة r حيث $X \sim BTFr(\mu, \sigma, \lambda, a, b)$ والتي يشار إليها بـ μ_r بالعلاقة:

$$\mu_r = E(X^r) = \int_0^{\infty} x^r f_{BTFr}(x) dx \quad (23)$$

ومن (22) نحصل على

$$\mu_r = E(X^r) = \sum_{j,s=0}^{\infty} w_{js} E(Y_{js}^r) \quad (24)$$

حيث (24) ومن $Y_{js}^r \sim Fr(\mu, \sigma(a+j+s)^{1/\mu})$ عزوم توزيع $Fr(\sigma, \mu)$ يكون العزم النهائي بالشكل

$$\begin{aligned} \mu_r = E(X^r) &= \sigma^r \Gamma \left[1 - \frac{r}{\mu} \right] \\ &\cdot \sum_{j,s=0}^{\infty} w_{js} (a+j+s)^{r/\mu}, \mu \\ &> r \end{aligned} \quad (25)$$

وباستخدام (25) يمكننا الحصول على الأربعة العزوم الأولي وإيجاد الخصائص الإحصائية للتوزيع مثل المتوسط والتباين والانحراف والتفرطح باستخدام العلاقة المعروفة.

العزوم المركبة (Moments central) من الرتبة n μ_n حيث $X \sim BTFr(a, b, \mu, \sigma, \lambda)$ ، تعطى بالصورة:

و $t_j = \frac{(-1)^j \binom{b-1}{j}}{\beta(a,b)(a+j)}$ وباستناد (18) نحصل على مفهوك $f_{BTFr}(x)$ كما يلي:

$$f_{BTFr}(x) = \sum_{j=0}^{\infty} t_j h_{a+j}(x) \quad (20)$$

حيث: $h_{a+j}(x)$ هي كثافة توزيع exp-TFr يمكن اعتبار المعادلات (19) و (20) نتيجة رئيسية لهذا القسم وباستخدامها نستطيع الحصول على العديد من الخصائص الرياضية لتوزيع BTFr ببساطة من الخصائص المناظرة لها في توزيع وباستخدام التمثيلات (17) و (18) نستطيع التعبير عن $f_{BTFr}(x)$ و $F_{BTFr}(x)$ على صورة مجاميع لانهائية مرجحة من تراكميات وكثافات توزيع (Fr) كما يلي:

$$F_{BTFr}(x) = \sum_{j,s=0}^{\infty} w_{js} G_{js}(x) \quad (21)$$

حيث: $G_{js}(x)$ هي CDF لتوزيع (Fr) بمعلمة مقاييس μ و $\sigma(a+j+s)^{1/\mu}$ ومعلمة شكل λ

$$w_{js} = \frac{(-1)^{j+s} \binom{b-1}{j} \binom{a+j}{s}}{\beta(a,b)(a+j)} \lambda^s (1+\lambda)^{a+j-s}$$

وباستناد (21) نحصل على التمثيل المتسلسل $f_{BTFr}(x)$ كما يلي:

$$f_{BTFr}(x) = \sum_{j,s=0}^{\infty} w_{js} g_{js}(x) \quad (22)$$

حيث: $g_{js}(x)$ هي PDF لتوزيع (Fr) بمعلمة مقاييس μ و $\sigma(a+j+s)^{1/\mu}$ ومعلمة شكل λ والتي تعطى بالشكل:

$g_{js}(x) = (a+j+s)^{\mu} \sigma^{\mu} x^{-(\mu+1)} e^{-(a+j+s)(\frac{\sigma}{x})^{\mu}}$ ويمكن أيضا اعتبار المعادلات (21) و (22) نتائج نهائية لهذا القسم الفرعي وباستخدامها يمكننا اشتقاق

ومن الصيغ الآتية: $u = e^{-\left(\frac{\sigma}{x}\right)^{\mu}}$ وبوضع

$$\begin{aligned} \sum_{k=0}^{\infty} w_k u^{(k+1)} &= \sum_{m=0}^{\infty} w_m^* u^m \\ \sum_{j,s=0}^{\infty} w_{js} (a+j+s) u^{(a+j+s)} & \\ &= \sum_{m=0}^{\infty} m w_m^* u^m \end{aligned} \quad (31)$$

حيث: $w_m^* = \sum_{k:k+1=m}^{\infty} k$ من (Gradsteyn and Rzhik 2000, section 0.314)

$$\left(\sum_{k=0}^{\infty} a_k u^k \right)^r = \sum_{k=0}^{\infty} d_{r,k} u^k \quad (32)$$

يمكن التعبير عن (31) بالشكل التالي:

$$\begin{aligned} f_{i:n}(x) &= \frac{\mu \sigma^\mu x^{-(\mu+1)}}{B(i, n-i+1)} \left(\sum_{m=0}^{\infty} m w_m^* u^m \right) \\ &\quad \sum_{s=0}^{n-i} (-1)^s \binom{n-i}{s} \left(\sum_{m=0}^{\infty} d_{i+s-1,m} u^m \right) \end{aligned} \quad (33)$$

$$\begin{aligned} d_{i+s-1,m} &= (m w_0^*)^{-1} \sum_{q=1}^{\infty} \{ q(i+s) - \\ &\quad m \} w_m^* d_{i+s-1,m-q} \\ d_{i+s-1,0} &= (w_0^*)^{i+s-1} = \\ &\quad \left(\sum_{j=0}^{\infty} (-1)^{j+1} \binom{b-1}{j} \frac{1}{\beta(a,b)(a+j)} \right)^{i+s-1} \end{aligned}$$

ويمكن كتابة (34) بالشكل التالي:

$$\begin{aligned} f_{i:n}(x) &= \frac{\mu \sigma^\mu x^{-(\mu+1)}}{B(i, n-i+1)} \\ &\quad \sum_{s=0}^{n-i} (-1)^s \binom{n-i}{s} \left(\sum_{m=1}^{\infty} \sum_{t=0}^{\infty} m d_{i+s-1,t} w_m^* \right) \\ f_{i:n}(x) &= \frac{1}{B(i, n-i+1)} \sum_{s=0}^{n-i} (-1)^s \binom{n-i}{s} \\ &\quad \left(\sum_{m=1}^{\infty} \sum_{t=0}^{\infty} \frac{m d_{i+s-1,t} w_m^*}{m+t} \left\{ (m+t) \mu \sigma^\mu x^{-(\mu+1)} e^{-(m+t)(\frac{\sigma}{x})^\mu} \right\} \right) \end{aligned} \quad (34)$$

$$\begin{aligned} M_n &= E(X - \mu_1)^n \\ &= \sum_{r=0}^n (-1)^{n-r} \binom{n}{r} \mu_1^{(n-r)} E(X^r) \end{aligned} \quad (26)$$

$$\begin{aligned} M_n &= \sum_{r=0}^n (-1)^{n-r} \binom{n}{r} \mu_1^{(n-r)} \sigma^r \Gamma \left[1 - \frac{r}{\mu} \right] \end{aligned} \quad (27)$$

كما أن الدالة المولدة للعزوم (Mgf) تعطى كما يلي

$$M_X(t) = E(e^{tx}) = \sum_{r=0}^{\infty} \frac{t^r}{r!} E(X^r)$$

$$\begin{aligned} M_X(t) &= \sum_{j,s=0}^{\infty} w_{js} \sum_{r=0}^{\infty} \frac{t^r \sigma^r (a+j+s)^{\frac{r}{\mu}}}{r!} \\ &\quad \Gamma \left[1 - \frac{r}{\mu} \right] \end{aligned} \quad (28)$$

3.3 الإحصاءات المرتبة (Order statistics)

هنا، نشتق PDF للإحصاء ذات المرتبة i (والذي يشار إليها بـ $X_{i:n}$) في عينة عشوائية بالحجم n من توزيع BTFr وبافتراض أن $X_{(1)} < \dots < X_{(n)}$ تمثل إحصاءات مرتبة، من المعروف أن

الPDF للإحصاء $X_{i:n}$ تعطى بالشكل:

$$\begin{aligned} f_{i:n}(x) &= \frac{1}{B(i, n-i+1)} f(x) F(x)^{i-1} \\ &\quad \cdot [1 - F(x)]^{n-i} \end{aligned} \quad (29)$$

وباستخدام (21) و (22) يكون لدينا

$$\begin{aligned} f_{i:n}(x) &= \frac{\mu \sigma^\mu x^{-(\mu+1)}}{B(i, n-i+1)} \left[1 + \lambda \right. \\ &\quad \left. - 2\lambda e^{-\left(\frac{\sigma}{x}\right)^\mu} \right] \\ &\quad \times \left(\sum_{j,s=0}^{\infty} w_{js} (a+j+s) e^{-(a+j+s)\left(\frac{\sigma}{x}\right)^\mu} \right) \\ &\quad \times \sum_{k=0}^{n-i} (-1)^k \binom{n-i}{k} \left(\sum_{j,s=0}^{\infty} w_{js} (a+j+s) e^{-(a+j+s)\left(\frac{\sigma}{x}\right)^\mu} \right)^{i+k-1} \end{aligned} \quad (30)$$

وباستخدامها يمكن الحصول على العديد من الخصائص والسمات العددية المميزة الأخرى لتوزيع (BTFr) على سبيل المثال الوسيط والانحراف الربيعي باستخدام الصيغ المناسبة لها.

وبنفس الأسلوب والطريقة في (40) يمكننا توليد أرقام عشوائية من توزيع (BTFr) على النحو التالي: إذا كان U متغير عشوائي يتبع توزيع بيتا مع المعلمات الموجبة a, b فان المتغير العشوائي:

$$X = \sigma \left(-\text{Log} \left(\frac{(1+\lambda) + \sqrt{(1+\lambda)^2 - 4\lambda U}}{2\lambda} \right) \right)^{\frac{-1}{\mu}} \quad (40)$$

يتبع توزيع (BTFr).

الفصل الثالث: تدبير المعالم:

(Parameter Estimation)

تتوفر في الإحصاء عدة طرق لتقدير المعلمات المجهولة في أي توزيع احتمالي، إلا أن طريقة الإمكان الأعظم (MLE)، التي قدمها العالم (Fisher, 1920) تعد من أهم الطرق وأكثرها استخداماً في تدبير معلمات التوزيعات الاحتمالية، نظراً لخصائصها المقاربة المثلية للمقدرات (Bain, 1978, Casella and Berger, 2002) من أهمها الحالة الطبيعية المقاربة وخاصية التباينات التقريبية، كما أنها تمثل حجر الزاوية في الاستدلال الإحصائي، ويمكن استخدامها لبناء فترات ثقة تقريبية، وفي إحصائيات بعض الاختبارات، كما أنه يمكن التعامل مع التقريب الطبيعي لهذه المقدرات في نظرية العينات الكبيرة بسهولة إما عددياً أو تحليلياً.

$$x_q = \sigma \left\{ -\text{Log} \left(\frac{(1+\lambda) + \sqrt{(1+\lambda)^2 - 4\lambda I_q^{-1}(a, b)}}{2\lambda} \right) \right\}^{\frac{-1}{\mu}} \quad (39)$$

ويكون الشكل النهائي كما يلي:

$$f_{i:n}(x) = \sum_{m=1}^{\infty} \sum_{t=0}^{\infty} c_i(m+t) h_{m+t}(x) \quad (35)$$

حيث:

$$\frac{1}{B(i, n-i+1)} \frac{m w_m^*}{m+t} \sum_s^{n-i} (-1)^s \binom{n-i}{s} d_{i+s-1, t}$$

و (Fr) h_{m+t} تشير إلى PDF لتوزيع

بمعلمة شكل μ ومعلمة مقاييس $(\sigma(m+t))^{\frac{1}{\mu}}$

ويمكن استخدام (36) للحصول على عزوم

الإحصاءات المرتبة من عزوم التوزيع الاصلي

3.4 دالة الكميات ودالة توليد الأرقام العشوائية

(Quantiles function& Random)

(number generator

دالة الكميات qf هي الحل الحقيقي للمعادلة:

$$F(x_q) = q, \quad 0 \leq q \leq 1 \quad (36)$$

وبعكس CDF في (10) نحصل على دالة الكميات

qf للمتغير العشوائي حيث $Z \sim$

$BTFr(a, b, \mu, \sigma, \lambda)$ بالشكل التالي:

$$x_q = \sigma(-\text{Log}Z)^{\frac{-1}{\mu}} \quad (37)$$

حيث : $Z \in (0,1)$ هو حل المعادلة التربيعية:

$$\lambda Z^2 - (1+\lambda)Z + I_q^{-1}(a, b) = 0$$

والذى يعطى بالصورة

$$Z = \frac{(1+\lambda) - \sqrt{(1+\lambda)^2 - 4\lambda I_q^{-1}(a, b)}}{2\lambda} \quad (38)$$

و $I_q^{-1}(a, b)$ هو معكوس دالة بيتا الناقصة بالمعامل

a, b . وأخيراً بتعويض (39) في (38) نحصل

على دالة الكميات qf لتوزيع $BTFr$:

ومن (40) يمكن الحصول على الكميات الآتية :

$$Q_3 = Q_{0.75}, \quad Q_2 = Q_{0.5}, \quad Q_1 = Q_{0.25}$$

الأصلي الخاص بالمؤلف) للحصول على مكونات متوجه القيم:

$$U = U(\Theta) = \left(\frac{\partial \ell(\Theta)}{\partial \mu}, \frac{\partial \ell(\Theta)}{\partial \sigma}, \frac{\partial \ell(\Theta)}{\partial \lambda}, \frac{\partial \ell(\Theta)}{\partial a}, \frac{\partial \ell(\Theta)}{\partial b} \right)^T$$

وبمساواة عناصر متوجه القيم بالصفر نحصل على نظام المعادلات غير الخطى :

$$\begin{aligned} U(\Theta) = 0 \Leftrightarrow \frac{\partial \ell(\Theta)}{\partial \mu} &= \frac{\partial \ell(\Theta)}{\partial \sigma} \\ &= \frac{\partial \ell(\Theta)}{\partial \lambda} = \frac{\partial \ell(\Theta)}{\partial a} \\ &= \frac{\partial \ell(\Theta)}{\partial b} = 0 \end{aligned} \quad (42)$$

ونظراً لتعقيد هذه المعادلات نستخدم خوارزمية عددية مثل نيوتن رافسون التكرارية للتحسين العددي بمساعدة البرنامج الإحصائي SAS للوصول إلى الحل.

3.2 تدبير الفترات لمعلمات BTFr (Interval Estimation)

لحساب التباينات التقريرية لـ (MLEs) وبناء فترات الثقة التقريرية للمعلمات، نحتاج إلى مصفوفة المعلمات المرصودة The observed (information matrix) والتي نحصل على عناصرها من المشتقات الجزئية من الرتبة الثانية للدالة $\ell(\Theta)$ مصفوفة المعلمات المرصودة ذات الأبعاد 5×5 والتي يشار إليها بـ $J_n(\Theta) = J_n$ تعطى بالشكل:

$$U_{rs}(\Theta) = -\frac{\partial^2 \ell(\Theta)}{\partial r \partial s} ; \quad r, s = \mu, \sigma, \lambda, a, b$$

حيث: $U_{rs}(\Theta)$ هي عناصر مصفوفة $J_n(\Theta)$ وهي ظل ظروف الانتظام، للمتغيرات العشوائية X_1, X_2, \dots, X_n المستقلة والتي تتبع توزيع BTFr، وعندما يكون حجم العينة n كبيراً ($n \rightarrow \infty$) فإن التوزيع المقارب لـ $\hat{\Theta}_{ML}$ يكون طبيعياً متعدد المتغيرات بمتوسط Θ ومصفوفة $J_n(\Theta)^{-1}$ تباين- تغير يمكن تدبيرها بواسطة (Lehmann, 1983):

كما أن مصفوفة معلومات (Afify et al, 2017) فيشر المرصودة تؤدي دوراً مهماً في الاستدلال خاصة في تدبير التباينات التقريرية وبناء فترات الثقة واختبارات الفروض (بطريقة والد) ودقة التدبير واختيار النموذج الأفضل، (Ly et al, 2017)، في هذه الدراسة، نستخدم (MLE) لتدبير معلمات توزيع (BTFr)، مع حساب مصفوفة المعلمات المرصودة، لتدبير التباينات التقريرية للمقدرات ولبناء فترات الثقة التقريرية ولتقييم ادائها من خلال استخدام أسلوب المحاكاة .

3.1 تدبيرات الإمكان الأعظم لمعلمات

Maximum likelihood estimation on the parameters

بافتراض أن (X_1, X_2, \dots, X_n) عينة عشوائية من توزيع (BTFr)، وأن $\Theta = (\mu, \sigma, \lambda, a, b)^T$ هو متوجه للمعلمات غير المعرفة، ومن أجل قيمة ملاحظة $\underline{x} = (x_1, x_2, \dots, x_n)$ للعينة X فإن دالة الامكان اللوغاريتمية لـ Θ والذي يشار إليها بـ

$$\ell(\Theta) = \log L(\Theta)$$

$$\begin{aligned} \ell(\Theta) = n \log \mu + n \mu \log \sigma - n \log \beta(a, b) \\ - (\mu + 1) \sum_{i=1}^n \log x_i - a \sum_{i=1}^n \left(\frac{\sigma}{x_i} \right)^{\mu} \\ + \sum_{i=1}^n \log \left[1 + \lambda - 2\lambda e^{-\left(\frac{\sigma}{x_i} \right)^{\mu}} \right] \\ + (a - 1) \sum_{i=1}^n \log \left[1 + \lambda - \lambda e^{-\left(\frac{\sigma}{x_i} \right)^{\mu}} \right] \\ + (b - 1) \sum_{i=1}^n \log \left\{ 1 - e^{-\left(\frac{\sigma}{x_i} \right)^{\mu}} \left[1 + \lambda - \lambda e^{-\left(\frac{\sigma}{x_i} \right)^{\mu}} \right] \right\} \end{aligned} \quad (41)$$

لإيجاد (MLEs) تقوم بإيجاد المشتقات الجزئية من الرتبة الأولى للدالة $\ell(\Theta)$ بالنسبة للمعلمات $a, b, \mu, \sigma, \lambda, a, b$ (وهذه المشتقات مذكورة في البحث

$$\widehat{\Theta} \approx N_5 \left(\Theta; J_n(\widehat{\Theta})^{-1} \right) \quad (43)$$

3. حساب الأخطاء المعيارية لـ MLEs من أجل كل عينة أي نوجد: $S_{\widehat{\mu}}, S_{\widehat{\sigma}_i}, S_{\widehat{\lambda}_i}, S_{\widehat{a}_i}, S_{\widehat{b}_i}$ ، $i = 1, 2, \dots, 2000$ يتم حساب الأخطاء المعيارية عن طريق معكوس مصفوفة المعلومات المرصودة التي تم تقييمها عند MLEs.

4. حساب التحيزات ومتواسطات مربعات الأخطاء بالصيغ الآتية:

$$\text{Bias}_{\theta}(n) = \frac{\sum_{i=1}^k (\widehat{\theta}_i - \theta)}{k} \quad (47)$$

$$\text{MSE}_{\theta}(n) = \frac{\sum_{i=1}^k (\widehat{\theta}_i - \theta)^2}{k} \quad (48)$$

لأجل $\theta = \mu, \sigma, \lambda, a, b$

5. حساب احتمالات الأخطاء الدنيا (L) والعليا (U) والإجمالية (T) لفترات الثقة لمستوى المعنوية $\gamma = 0.05$ بالصيغ الآتية:

$$J_n(\Theta) = \begin{bmatrix} U_{\mu\mu} & U_{\mu\sigma} & U_{\mu\lambda} & U_{\mu a} & U_{\mu b} \\ U_{\sigma\mu} & U_{\sigma\sigma} & U_{\sigma\lambda} & U_{\sigma a} & U_{\sigma b} \\ U_{\lambda\mu} & U_{\lambda\sigma} & U_{\lambda\lambda} & U_{\lambda a} & U_{\lambda b} \\ U_{a\mu} & U_{a\sigma} & U_{a\lambda} & U_{a a} & U_{a b} \\ U_{b\mu} & U_{b\sigma} & U_{b\lambda} & U_{b a} & U_{b b} \end{bmatrix} \quad (45)$$

$$L_{\theta}(n) = \frac{\{\widehat{\theta} + \zeta_{(1-\frac{\gamma}{2})} S(\widehat{\theta}) < \theta_0\}}{k} \quad (49)$$

$$U_{\theta}(n) = \frac{\{\widehat{\theta} - \zeta_{(1-\frac{\gamma}{2})} S(\widehat{\theta}) > \theta_0\}}{k} \quad (50)$$

لأجل $\theta = \mu, \sigma, \lambda, a, b$ حيث $Z_{1-\frac{\alpha}{2}}$ هي قيمة الحرجة للتوزيع الطبيعي القياسي ، θ_0 هي قيمة الحقيقة للمعلمة.

حيث: $\Theta = (\widehat{\mu}, \widehat{\sigma}, \widehat{\lambda}, \widehat{a}, \widehat{b})^T$ و $(\mu, \sigma, \lambda, a, b)^T$ مصفوفة المعلومات المرصودة التي قُيمت عند $J_n(\widehat{\Theta}) = \widehat{\Theta}$ والتي تعطى بالشكل: $(-\frac{\partial^2 l(\Theta)}{\partial \theta \partial \theta^T})_{\Theta=\widehat{\Theta}}$ وبناءً على التوزيع المقارب، يمكن حساب معلمة θ_i بالصيغة:

$$ACI(\theta_i, 1 - \alpha) = \left(\widehat{\theta}_i - Z_{1-\frac{\alpha}{2}} \sqrt{J_{ii}(\widehat{\Theta})}, \widehat{\theta}_i + Z_{1-\frac{\alpha}{2}} \sqrt{J_{ii}(\widehat{\Theta})} \right) \quad (44)$$

حيث: $J_{ii}(\widehat{\Theta})$ هو العنصر القطرى رقم (i, i) للمصفوفة: $J_n(\widehat{\Theta})^{-1}$ و $Z_{1-\frac{\alpha}{2}}$ القيمة الحرجة للتوزيع الطبيعي القياسي (Casella and Berger, 2002)

3.3 دراسة المحاكاة (Simulation Study) لنقىيم أداء المقدرات وفترات الثقة في العينات المحدودة قمنا بتنفيذ دراسة للمحاكاة

-**تصميم تجربة المحاكاة:**

استند تقييم سلوك العينة المحدودة لـ MLEs وفترات الثقة لمعلمات توزيع (BTFr) على ما يلي:

1. استخدام طريقة التحويل العكسي لتوليد 2000 عينة من توزيع (BTFr) مع القيم الافتراضية باستخدام دالة توليد الأرقام العشوائية:

$$X = \sigma \left(-\text{Log} \left(\frac{(1 + \lambda) + \sqrt{(1 + \lambda)^2 - 4\lambda U}}{2\lambda} \right) \right) \quad (46)$$

2. حساب MLEs من أجل كل عينة أي نوجد: $(\widehat{\mu}_i, \widehat{\sigma}_i, \widehat{a}_i, \widehat{b}_i, \widehat{\lambda}_i)$ ، $i = 1, 2, \dots, 2000$

الإسمى عند أحجام العينات الكبيرة، وتكون احتمالات فترات الثقة محافظة. كما تقترب احتمالات الخطأ الكلي (T) لكل معلمة من احتمال الخطأ الإسمى مع زيادة حجم العينة مما يؤكد أن احتمالات التغطية لفترات الثقة التقريرية تحقق مستوى الثقة الإسمى 95% (حسب نظرية العينات الكبيرة).

- يتحقق تماثل احتمالات الخطأ الأدنى والأعلى لكل معلمة عند مختلف أحجام العينات، وينخفض الفرق بينها إلى الصفر مع زيادة حجم العينة مما يؤكد انخفاض لمتوسطات أطول التغطية لفترات الثقة لكل معلمة إلى الصفر مع زيادة حجم العينة.

الفصل الرابع: التطبيق العملي لتوزيع (BTFr)

هنا، قُدِّم تطبيق عملي لتوزيع (BTFr) على مجموعة من البيانات الحقيقية بهدف اختبار قدرته وكفاءته في النمذجة الإحصائية لبيانات ذات الخصائص المعقّدة ولمقارنة أدائه مع أربعة من توزيعاته الفرعية وهي: توزيع(BFr)، توزيع(TFr)، توزيع(Exp-Fr)، توزيع(Fr)، وتعطى دوال الكثافات الاحتمالية لهذه التوزيعات كماليي ($x > 0$):

$$\begin{aligned} \text{BFr: } f(x) &= \frac{\mu\sigma^\mu}{\beta(a, b)} x^{-(\mu+1)} e^{-a(\frac{\sigma}{x})^\mu} \\ &\cdot \left\{ 1 - e^{-\left(\frac{\sigma}{x}\right)^\mu} \right\}^{b-1} \\ \text{TFr: } f(x) &= \mu\sigma^\mu x^{-(\mu+1)} e^{-\left(\frac{\sigma}{x}\right)^\mu} \quad (51) \\ &\cdot \left[1 + \lambda - 2\lambda e^{-\left(\frac{\sigma}{x}\right)^\mu} \right] \\ \text{Exp - Fr: } f(x) &= a \mu \sigma^\mu x^{-(\mu+1)} e^{-a(\frac{\sigma}{x})^\mu} \\ \text{Fr: } f(x) &= \mu\sigma^\mu x^{-(\mu+1)} e^{-\left(\frac{\sigma}{x}\right)^\mu} \end{aligned}$$

4.1 وصف مجموعة البيانات: تكون مجموعة البيانات الحقيقية من 100 مشاهدة حول أوقات

6. نكرر الخطوات السابقة لعينات بأحجام مختلفة $n = \{10, 30, 50, 80, 100, 200\}$ ونحسب متوسطات التقديرات MLEs والأخطاء $Bias_\theta(n)$ لها وقيمة المعايير $L_\theta(n)$ و $MSE_\theta(n)$ لأجل $\theta = \sigma, \lambda, a, b$ وهي موضحة في الجدول(2)

التحليل الإحصائي لنتائج المحاكاة :

1. بالنسبة للمقدرات أظهرت نتائج المحاكاة أن:

- جميع المعلمات تظهر انحيازاً موجباً، في العينات الصغيرة وبشكل عام التحيزات تتناقص إلى الصفر مع زيادة حجم العينة ($n \rightarrow \infty$) مما يتواافق مع خاصية عدم التحيز المقارب لـ MLE.
- تتناقص قيمة MSE لكل معلمة إلى الصفر مع زيادة حجم العينة ($n \rightarrow \infty$)، مما يؤكد خاصية الاتساق لـ MLE.

- بشكل عام، تشير القيم الصغيرة للتحيزات والأخطاء المعيارية ومتوسط الأخطاء التربيعية إلى أن طريقة الاحتمالية القصوى تؤدي أداءً جيداً في تقييم معلمات التوزيع المقترن، وهذا كما هو متوقع نظراً لخصائص العينة الكبيرة لمقدار الاحتمالية القصوى ، مما يؤكد أن مقدار الاحتمالية القصوى لتوزيع (BTFr) مرضٍ حتى بالنسبة لعينات الصغيرة ، وفعال بشكل مقارب ويمكن تقييم تباينه بشكل ملائم من معكوس مصفوفة المعلومات المرصودة .

2. بالنسبة لفترات الثقة أظهرت نتائج المحاكاة ما يلي:

- بشكل عام احتمالات الخطأ الكلي (T) لكل معلمة لا يتحقق احتمال الخطأ الإسمى عند أحجام العينة الصغيرة وبالتالي فإن احتمالات فترة الثقة تميل إلى أن تكون غير محافظة، بينما يتحقق احتمال الخطأ

الملاعمة (IC) ويسرد الجدول(6) قيم هذه المعايير:
 $\{-2\ell, AIC, CAI_C, BIC, HQIC\}$

4.6 تم أيضاً إجراء اختبار نسبة الاحتمال (LR) ، للتحقق من أهمية المعلمات الإضافية ويوضح الجدول(7) نتائج اختبار (LR) للفرضية الصفرية H_0 مقابل الفرضية البديلة H_1 عند مستوى معنوية 0.05

4.7 مناقشة نتائج التطبيق العملي:

1. تظهر نتائج الجدول(4) كفاءة عالية للمقدرات، نظراً لقيم الصغيرة للأخطاء المعيارية، مما يؤكّد الدلالة المعنوية للمعلمات الإضافية في تحسين مرونة النموذج

2. تظهر نتائج الجدول (5) أن : $P\text{-value} > 0.05$ للاختبارات الثلاثة لذلك لا يوجد أي سبب لرفض H_0 ومن ثم نستنتج كفاءة توزيع BTFr في نمذجة البيانات المعقّدة.

3. يتضح من نتائج الجدول(6) أن توزيع(BTFr) يحتوي على أدنى قيم لإحصائيات جودة الملاعمة $\{-2\ell, AIC, CAI_C, BIC, HQIC\}$ ، مما يؤكّد تفوق توزيع BTFr في نمذجة البيانات المتطرفة مقارنة بتوزيعاته الفرعية.

4. يتضح من نتائج اختبارات(LR) في الجدول(7) أن: $p\text{-value} < 0.05$ للأربع الفرضيات ، لذلك يتم رفض H_0 لصالح H_1 (توزيع BTFr) مما يؤكّد أهمية المعلمات الإضافية في تحسين مرونة توزيع BTFr عند مقارنته مع توزيعاته الفرعية حيث أseمت معلمة التحويل تحسين الملاعمة، بينما إضافة معلمتى الشكل مرونة معنوية. وهذا يجيب عن السؤال الباحثي حول دور تعميم بيتا والتحويل التربيري في تحسين مرونة النموذج.

الانتظار (بالدقائق) قبل أن يتلقى العميل الخدمة في البنك، يمكن العثور عليها في (Ghitany et al.2008) وهذه البيانات هي:

0.8 , 0.8 , 1.3 , 1.5 , 1.8 , 1.9 , 1.9 , 2.1 , 2.6 , 2.7 , 2.9 , 3.1 , 3.2 , 3.3 , 3.5 , 3.6 , 4.0 , 4.1 , 4.2 , 4.2 4.4 , 4.6 , 4.7 , 4.7 , 4.8 , 4.9 , 4.9 , 5.0 , 5.3 , 5.5 , 5.7 , 4.3 , 6.1 , 6.2 , 6.2 , 6.2 , 6.3 , 6.7 , 6.9 , 7.1 4.3 , 7.6 , 7.7 , 8.0 , 5.2 , 7.1 , 7.1 , 7.1 , 7.4 , 8.6 , 8.6 , 8.8 , 8.8 , 8.9 , 8.9 , 9.5 , 9.6 , 9.7 , 9.8 , 10.7 , 10.9 , 11.0 , 11.0 , 11.1 , 11.2 , 11.2 , 11.5 , 11.9 , 12.4 , 12.5 , 12.9 , 13.0 , 13.1 , 13.3 , 13.6 , 13.7 , 13.9 , 14.1 , 15.4 , 15.4 , 17.3 , 17.3 , 18.1 , 18.2 , 18.4 , 18.9 , 19.0 , 19.9 , 20.6 , 21.3 , 21.4 , 21.9 , 23.0 , 27.0 , 31.6 , 33.1 , 38.3

ويوضح الجدول(3) الخصائص الإحصائية الأساسية للبيانات ويشير الانحراف الموجب (1.489) إلى قيم متطرفة طويلة الذيل ويفيد التفريط المرتفع (5.55) وجود ذيول ثقيلة كما أن الوسيط (6.5) أقل من المتوسط (9.8) يشير التي عدم تمثيل البيانات. لذلك فإن هذه البيانات تمثل حالة واقعية لقيم المتطرفة غير المتماثلة مما يجعلها مناسبة لاختبار الأسئلة البحثية حول قدرة التوزيع على نمذجة البيانات المعقّدة واختبار الفرضية بأن التوزيع أكثر مرونة من التوزيعات الكلاسيكية.

4.2 قدرت معلمات توزيع(BTFr) وتوزيعاته الفرعية باستخدام طريقة الإمكان مع أخطاء معيارية مقدرة باستخدام مصفوفة المعلومات المرصودة وهي موضحة في الجدول(4)

4.3 تم اختبار جودة ملاعمة توزيع (BTFr) لبيانات أوقات الانتظار عند مستوى معنوية 0.05 ، باستخدام الاختبارات: $A^*, W^*, K - S$ ويفيد الجدول (5) نتائج هذه الاختبارات.

4.4 تم مقارنة أداء توزيع(BTFr) مع توزيعاته الفرعية باستخدام مجموعة المعايير المعلوماتية لجودة

جدول (2) : نتائج المحاكاة للمقدرات وفترات الثقة

Sample size	Parameter	الخصائص الإحصائية لـ MLEs لتوزيع BTFr			95% احتمالات الخطأ الدنيا والعليا والكلية لفترات الثقة لمعالم توزيع BTFr			
		Parameter Estimation	Bias	MSE	SE	Lower	Upper	Total
10	μ	$\hat{\mu} = 1.2205139$	0.1120514	0.0125555	0.0996134	0.1073237	0.1367791	0.2441028
	σ	$\hat{\sigma} = 0.477162$	0.0277162	0.0007682	0.0471116	0.012845	0.1082773	0.0954324
	λ	$\hat{\lambda} = 0.6207641$	0.0320764	0.0010289	0.0843201	0.0275793	0.0965735	0.1241528
	a	$\hat{a} = 0.699063$	0.0299063	0.0008944	0.0017631	0.0237045	0.1161081	0.1398126
	b	$=1.4357391\hat{b}$	0.0935739	0.0087561	0.1649198	0.1241589	0.1629889	0.2871478
30	μ	$\hat{\mu} = 1.2205139$	0.0373505	0.0013951	0.0332045	0.0378494	0.0435181	0.0813676
	σ	$\hat{\sigma} = 0.477162$	0.0092387	0.0000854	0.0157039	0.0042504	0.0275604	0.0318108
	λ	$\hat{\lambda} = 0.6207641$	0.0106921	0.0001143	0.0281067	0.0140532	0.0273311	0.0413843
	a	$\hat{a} = 0.699063$	0.0099688	0.0000994	0.0005877	0.0144106	0.0321936	0.0466042
	b	$=1.4357391\hat{b}$	0.0311913	0.0009729	0.0549733	0.0441215	0.0515944	0.0957159
50	μ	$\hat{\mu} = 1.2205139$	0.0224103	0.0005022	0.0199227	0.023093	0.0257276	0.0488206
	σ	$\hat{\sigma} = 0.477162$	0.0055432	0.0000307	0.0094223	0.0041265	0.01496	0.0190865
	λ	$\hat{\lambda} = 0.6207641$	0.0064153	0.0000412	0.0168640	0.0093298	0.0155008	0.0248306
	a	$\hat{a} = 0.699063$	0.0059813	0.0000358	0.0003526	0.0098488	0.0181137	0.0279625
	b	$=1.4357391\hat{b}$	0.0187148	0.0003502	0.0329840	0.0269782	0.0304513	0.0574296
80	μ	$\hat{\mu} = 1.2205139$	0.0140064	0.0001962	0.0124517	0.0146055	0.0159073	0.0305128
	σ	$\hat{\sigma} = 0.477162$	0.0034645	0.0000120	0.0058890	0.0032881	0.008641	0.011929
	λ	$\hat{\lambda} = 0.6207641$	0.0040096	0.0000161	0.0105400	0.0062350	0.0092841	0.0155191
	a	$\hat{a} = 0.699063$	0.0037383	0.0000140	0.0002204	0.0066964	0.0107801	0.0174766
	b	$=1.4357391\hat{b}$	0.0116967	0.0001368	0.0206150	0.0170887	0.0188048	0.0358935
100	μ	$\hat{\mu} = 1.2205139$	0.0112051	0.0001256	0.0099613	0.0117394	0.0126709	0.0244103
	σ	$\hat{\sigma} = 0.477162$	0.0027716	7.6819E-6	0.0047112	0.0028565	0.0066867	0.0095432
	λ	$\hat{\lambda} = 0.6207641$	0.0032076	0.0000103	0.0084320	0.0051167	0.0072985	0.0124153
	a	$\hat{a} = 0.699063$	0.0029906	8.9439E-6	0.0001763	0.0055296	0.0084517	0.0139813
	b	$=1.4357391\hat{b}$	0.0093574	0.0000876	0.0164920	0.0137434	0.0149713	0.0287148
200	μ	$\hat{\mu} = 1.2205139$	0.0056026	0.0000314	0.0049807	0.0059379	0.0062672	0.0122051
	σ	$\hat{\sigma} = 0.477162$	0.0013858	1.9205E-6	0.0023556	0.0017087	0.0030629	0.0047716
	λ	$\hat{\lambda} = 0.6207641$	0.0016038	2.5722E-6	0.0042160	0.0027181	0.0034895	0.0062076
	a	$\hat{a} = 0.699063$	0.0014953	2.236E-6	0.0000882	0.0029788	0.0040119	0.0069906
	b	$=1.4357391\hat{b}$	0.0046787	0.0000219	0.0082460	0.0069616	0.0073958	0.0143574

جدول (3): الخصائص الإحصائية لبيانات أوقات الانتظار

n	Minimum	Mean	Median	Variance	Skewness	Kurtosis	Maximum
100	0.8	9.777	6.499	52.763	1.488	5.548	38.5

جدول(4): تقديرات الإمكان الأعظم وأخطائها المعيارية (بين قوسين) لبيانات أوقات الانتظار

Distribution	$\hat{\mu}$	$\hat{\sigma}$	$\hat{\lambda}$	\hat{a}	\hat{b}
$BTFr(\mu, \sigma, \lambda, a, b)$	0.41447 (9.86E-6)	0.72294 (0.00012)	1.61126 (0.00102)	1.75529 (0.00021)	1.30621 (0.00044)
$BFr(\mu, \sigma, a, b)$	1.23395 (0.00030)	1.91438 (0.00071)	-	2.26156 (0.18417)	0.61609 (0.00453)
$TFr(\mu, \sigma, \lambda)$	0.41303 (0.00016)	0.89309 (0.00023)	1E-6 (0.00095)	-	-
$EFr(\mu, \sigma, a)$	0.36903 (0.00059)	0.25275 (0.00061)	-	1.33685 (0.00471)	-
$Fr(\mu, \sigma)$	0.73517 (0.00050)	1.67709 (0.00252)	-	-	-

جدول(5): نتائج اختبارات: $BTFr$ لـ $A^*, W^*, K - S$ توزيع لبيانات أوقات الانتظار

Distribution	A^*	P-value	W^*	P-value	K-S	P-value
BTFr	9.1657	0.0771	1.586	0.0918	0.2383	0.1051

جدول(6): قيم إحصائيات $\{-2, AIC, CAIC, BIC, HQIC\}$ لبيانات أوقات الانتظار

Distribution	-2ℓ	AIC	AICC	BIC	HQIC
BTF	343.2412	353.2413	353.5562	367.6172	359.0829
BF	358.2911	368.2911	368.6061	382.6671	374.1327
TF	464.4078	474.4078	474.7228	488.7838	480.2494
EF	465.9191	475.9191	476.2341	490.2951	481.7607
F	466.4427	476.4427	476.7576	490.8187	482.2843

جدول(7): نتائج اختبار LR لبيانات أوقات الانتظار

توزيع BTF مُقابل توزيعاته الفرعية	الفرضية الصفرية و البديلة		LR-test statistic	df	p-value
	H_0	H_1			
BTF vs BF	$\lambda = 0$	$\lambda \neq 0$	3.63	1	0.000
BTF vs TF	$a = b = 1$	$a \neq 1, b \neq 1$	14.52	2	0.000
BTF vs EF	$b = 1, \lambda = 0$	$b \neq 1, \lambda \neq 0$	46.92	2	0.000
BTF vs F	$a = b = 1, \lambda = 0$	$a \neq 1, b \neq 1, \lambda \neq 0$	60.92	3	0.000

الكلاسيكية ، وفي هذه الدراسة، قدمنا توزيع جديد يسمى بتوزيع بيتا فرشت المحلول ($BTFr$)، وهو تميم لتوزيع (TFr) باستخدام عائلة (B-G) ويحتوي على خمس معلمات توفران مرونة في نمذجة البيانات المرصودة، ويتضمن توزيع BFr وتوزيع EFr وتوزيع

الفصل الخامس: الاستنتاجات النهائية والتوصيات

5.1 الاستنتاجات (Conclusions)

شهد العقد الماضي اهتماماً كبيراً بين الإحصائيين لتطوير عائلات جديدة من التوزيعات المعممة والتي استخدمت لاقتراح تعميمات للعديد من التوزيعات

5.2 التوصيات (Recommendations)

بناءً على الإجراءات المستخدمة في هذه الدراسة واستنتاجاتها ، نقدم عدد من التوصيات ، والتي تساعد في إجراء المزيد من البحوث والدراسات.

1. يمكن إجراء دراسة مستقبلية لاقتراح دراسة تعليم جديد لتوزيع (TFr) باستخدام عائلة توزيعات Kumaraswamy generalized (Cordeiro and Castro,2009)

2. يمكن إجراء دراسة مستقبلية لتقدير معلمات توزيع (BTFr) باستخدام طرائق تقدير أخرى مثل طريقة العزوم والطريقة البيزيه وغيرها ومقارنتها بالطريقة المستخدمة في هذه الدراسة.

3. استخدام طرائق محاكاة أخرى مثل البوstrap (Carlo Monte) ومونتي كارلو (Bootstrap) ومقارنتها بالطريقة المستخدمة في هذه الدراسة.

4. يمكن إجراء دراسة مستقبلية لمقارنة ملائمة توزيع (BTFr) مع بعض التعميمات الأخرى لتوزيع (Fr) غير متداخلة مع توزيع (BTFr) أو مع توزيعات مركبة محولة أخرى لها نفس عدد معالم توزيع (BTFr).

5. استخدام توزيع (BTFr) لتحليل البيانات في المجالات المختلفة.

قائمة المصادر والمراجع

أولاً: المراجع باللغة العربية:

- [1] النصراوي، هدير سعدي صاحب. (2022). التحويل التربيعي للتوزيع المركب الجديد (أسي-فريجت)، (رسالة ماجستير): جامعة كربلاء، كلية الإدراة والاقتصاد، قسم الإحصاء.

وتوزيع Fr و توزيع TFr كحالات خاصة. التوزيع الجديد (BTFr) يعمم العديد من التوزيعات المعروفة مثل توزيع BFr ، وتوزيع TFr ، وتوزيع EFr ، وتوزيع Fr ، من خلال إضافة معلمة واحدة للشكل ومعلمتين ثالثة معالم على التوالي، لذلك يمكن استخدامه من قبل الممارسين كأداة إضافية لتحليل البيانات التي قد تستخدم في العادة مع الأربعة التوزيعات الأخرى. قدمنا مفهوكات هامة ومفيدة لكتافة وترانكيمية توزيع (BTFr)، من خلال التعبير عنها على صورة مجامية لانهائية مرحلة من كثافات وترانكميات توزيع (Fr) واستخدمناها لاشتقاق بعض الخصائص الرياضية لتوزيع (BTFr) بسهولة من الخصائص المنشورة في توزيع (Fr). تمت مناقشة تقدير معلمات توزيع (BTFr) بطريقة الإمكان الأعظم للتقدير، وتم حساب مصفوفة معلومات فيشر المرصودة، والتي استخدمت لتقدير التباينات التقريبية وتقدير فترات الثقة لمعلمات توزيع (BTFr)، قدمت دراسة لمحاكاة للتحقق من الكفاءة المقاربة للمقدرات، وتقدير ادائها وأداء فترات الثقة . لقد ثبت ، من خلال تطبيق التوزيع (BTFr) والتوزيعات الفرعية ، TFr ، BFr ، EFr ، Fr على مجموعتين من البيانات الحقيقية ، وبالاعتماد على بعض اختبارات جودة التوافق ، والأخطاء المعيارية لـ (MLEs) والمعايير المعلوماتية { -2ℓ , AIC , CAIC , BIC , HQIC} يوفر اختبار نسبة الإمكان، أن توزيع (BTFr) يوفر ملائمة أفضل لنموذج البيانات المعقّدة ويتوقّع على توزيعاته الفرعية .

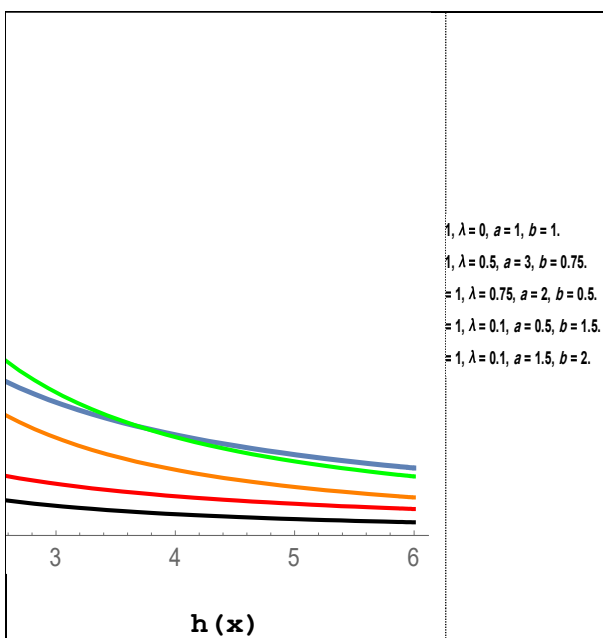
- Journal of Statistics and Probability, 4:132–148.
- [10] Afify, A. Z., Yousof, H. M. & Nadarajah, S. (2017), "The beta transmuted-H family for lifetime data", *Statistics and Its Interface*, Vol. 10, pp. 505-520.
- [11] Barreto-Souze, W. M. Cordeiro, G.M. & Simas, A. B. (2011). Some Results for Beta Frechet Distribution. *Communications in Statistics Theory and Methods* ,40:798-811
- [12] Banks, J. (1998). *Handbook of Simulation*. Canada, John Wiley & Sons.
- [13] Bulsenko, N., Golenko, D., Shreider (1966), Yu. Sobol, I. and Sragovich, V.. *The Monte Carlo Method: The Method of Statistical Trails*. London, Pergamon.
- [14] Bain, L. J. (1978). *Statistical Analysis of Reliability and Life-Testing Models*, New York: Marcel Dekker.
- [15] Burnham, K. P. and Anderson, D. R. (2004). Multimodel inference: Understanding AIC and BIC in model selection. *Sociological Methods and Research*, 33, 261-304.
- [16] Burnham, K. P., Anderson (1998). Information theory and log-likelihood models: a basis for model selection and inference. *Model selection and inference: a practical information-theoretic approach*, 32-74.
- [17] Cordeiro, G. M., et al.(2009). General Results for a Class of Beta-G Distributions. Unpublished material.,
- [18] Cox, D. R. and Hinkley, D. V. (1974). *Theoretical Statistics*, London: Chapman and Hall.
- [19] Casella, G. and Berger, R. L. (2002). *Statistical Inference*. Duxbury: Thomson Learning.
- [20] Cordeiro, G. M., and Nadarajah, S. (2011). Closed form expressions of moments of a class of a beta generalized distributions, *Brazilian Journal of Probability and Statistics*. 25, 14-33.
- [21] Doganaksoy, N. and Schmee, J. (1991). Comparisons of Approximate Confidence Intervals for the Smallest Extreme Value Distribution Simple Linear Regression Model Under Time Censoring. *Communications in Statistics-Simulation and Computation*. 20(4), 1085-1113.
- [22] Doganaksoy, N. and Schmee, J. (1993). Comparisons of Approximate Confidence Intervals for Distributions Used in Life-Data Analysis. *Technometrics*, 35, No. 2, 175-184.
- [23] Eugene, N., Lee, C., and Famoye, F. (2002). Beta-normal distribution and its applications. *Communications in Statistics-Theory Methods* 31 :497–512. MR1902307
- [24] Elbatal, I., Asha, G., and Raja, A. V. (2014). Transmuted exponentiated Fréchet distribution: Properties and applications.
- [2] مصطفى، عبد الحفيظ. (1999). *الاستدلال الإحصائي (1) نظرية التقدير، مصراطه، الجماهيرية الليبية: مجموعة النيل العربية*.
- [3] هرمز، أمير حنا. (1990). *الإحصاء الرياضي، جامعة الموصل، العراق: مديرية دار الكتب للطباعة والنشر*.
- [4] الصياد، جلال مصطفى. (1993). *الاستدلال الإحصائي، الرياض، المملكة السعودية العربية: دار المريخ*.
- [5] القدسي، ثورة . (2023). *توزيع القوة الأسي المحوّل: النظرية والتطبيقات ، المكتبة المركزية، جامعة صنعاء*.

ثانياً: المراجع باللغة الانجليزية

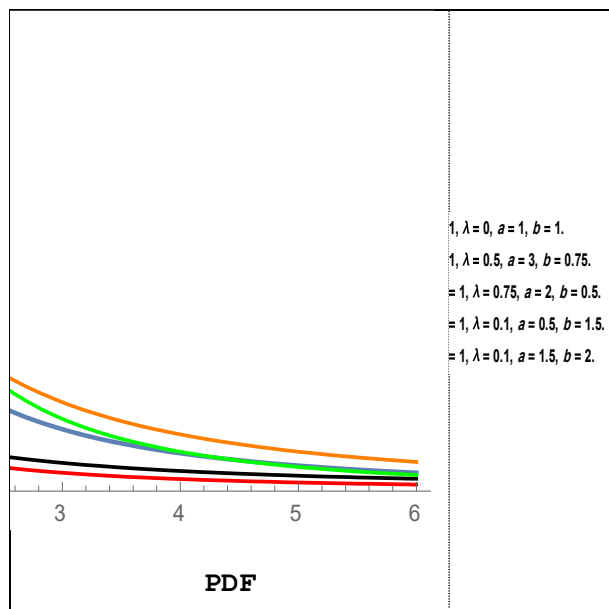
- [1] Aryal, G. R. & Tsokos, C. P. (2009). On the transmuted extreme value distribution with application. *Nonlinear Analysis: Theory, Methods and Applications*, 71:1401–1407, doi:10.1016/j.na.2009.01.168
- [2] Akaike, H. (1974). A new look at the statistical model identification. *IEEE Transactions on Automatic Control*, Vol. 19(6): 716–723.
- [3] Azzalini, A. (1996). *Statistical Inference Based on the Likelihood*. London: Chapman & H.
- [4] Hurairah, A. A. (2019), "The Beta Transmuted Gumbel Distribution: Theory and Application" , *International Journal of Scientific Research in Mathematical and Statistical Sciences*, Vol. 6(6), pp. 76-85.
- [5] Alobid, A. & Hurairah, A. A. (2019). The Beta Transmuted Power Distribution: Properties and Applications. *Indonesian Journal of Statistics and Its Applications*, 3(1): 105-123.
- [6] Alobid, A. & Hurairah, A. A. (2020). "The Beta Transmuted Lomax distribution with applications", *STATISTICS IN TRANSITION* , Vol. 21, No(2), pp. 13-34
- [7] Afify, A. Z., Yousof, H. M., Cordeiro, G. M., Ortega, E. M. M. & Nofal, Z. M. (2016). The Weibull Fréchet distribution and its applications. *Journal of Applied Statistics*, 43(14), 26082626
- [8] Aryal, G. R. & Tsokos, C. P.(2009). On the Transmuted Extreme Value Distributions with Application . *Nonlinear Analysis: Theory, Methods and Application*, 71: 1401-1407.
- [9] Afify, A. Z., Hamedani, G. G. Ghosh, I. & Mead, M. E. (2015). The transmuted Marshall-Olkin Fréchet distribution: Properties and applications. *International*

- [42] M.R.Mahmoud and R.M Mandouh,(2013) ,on the Transmuted Frechet Distribution, Toumal of Applied Scienços Research , 9(10):5553-5561
- [43] Mead, M. E. A. (2014) A note on Kumaraswamy Frechet distribution. Australia, 8, 294-300
- [44] Mead, M. E. , Afify, A. Z., Hamedani, G. G., & Ghosh, I. (2017). The Beta Exponential Frechet Distribution. with Applications. Austrian Journal of Statistical, Vol. 46, No. 1, pp. 41-63.
- [45] Morgan, B. (1984). Elements of Simulation, London: Chapman and Hall.
- [46] Mullins, E. and Stuart, M. (1992). Simulation as an Aid in Practical Statistical Problem-Solving. The Statistician. Vol. 41, pp. 17-26.
- [47] Morgan, B. (1984). Elements of Simulation, London: Chapman and Hall.
- [48] Mood, A. Graybill, F. and Boes, D. (1974). Introduction to the Theory of Statistics. McGraw-Hill.
- [49] Nadarajah, S., Kotz, S. (2004). The beta Gumbel distribution. Math. Probab. Eng. 10:32332.
- [50] Nadarajah, S. and Kotz, S. (2005b). The beta exponential distribution. Reliability Engineering and System Safety 91:689-697.
- [51] Nadarajah, S., Kotz, S. (2003a). The exponentiated Frechet Distribution. InterStat. Available online at <http://interstat.statjournals.net/YEAR/2003/abstracts/0312001.php>
- [52] Nadarajah, S., and Gupta, A. K., (2004).The Beta Frechet Distribution ,Far East Journal of Theoretical Statistics , 14:15-24
- [53] Pal, M. and Tienswan, M. (2014). The Beta Transmuted Weibull Distribution. Austrian Journal of Statistics 43: 133 -149.
- [54] Rubinstein, R. (1981). Simulation and the Monte Carlo Method. New York: Wiley.
- [55] Rao, C. R. (1973). Linear Statistical Inference and its Applications. New York: Wiley.
- [56] da Silva, R. V., de Andrade, T. A., Maciel, D. B. Campos, R. P. and Cordeiro, G. M. A New Lifetime Model: The Gamma Extended Frechet Distribution. Journal of Statistical Theory and Applications, 12(1), 39-54 (2013).
- [57] Shaw, W. T. and Buckley, I. R. C. (2009). The Alchemy of Probability Distributions: Beyond Gram – Charlier Expansions, and a Skew-Kurtotic Normal Distribution From a Rank Transmutation Map. "Technical Report No. 0901.0434, Cornell University, Ithaca, NY.
- [58] Schwarz, G. E. (1978). Estimating the dimension of a model. Annals of Statistics, 6, 461-464.
- Journal of Statistics Applications & Probability, 3(3): 379.
- [25] Frechet. M. (1924). Sur la Loi des Erreurs d'Observation.. Bulletin de la Societe Mathematique de Moscou,33, 5-8
- [26] Fang, Y. (2011). Asymptotic equivalence between cross-validations and Akaike Information Criteria in mixed-effects models. Journal of Data Science, 9, 15-21.
- [27] Famoye, F., Lee, C.,(2005) and Olumolade, O. The Beta-Weibull Distribution. J. Statistical Theory and Applications, 4 , 121-136.
- [28] Fisher, R. (1924). Theory of Statistical Estimation. Proc. Camp. Phil. Soc. 22: 700-725.
- [29] Gupta, A., and Nadarajah, S. (2004) On the moments of the beta normal distribution. Communication in Statistics Theory and Methods 31 , 1-13.
- [30] Gradshteyn IS, Ryzhik IM (2000). Table of Integrals, Series, and Products. Academic Press, New York.
- [31] Hogg, R. V., and Craig, A. T. (1995). Introduction to mathematical statistics. (5th edition). New Jersey: Englewood Hills.
- [32] Hannan, E. J. and Quinn, B. G. (1979). The determination of the order of an autoregression. Journal of the Royal Statistical Society, B, 41, 190-195.
- [33] Hurvich, C. M. and Tsai, C. L. (1989). Regression and time series model selection in small samples. Biometrika, 76(2):297-307.
- [34] Jennings, D. (1986). How Do We Judge Confidence Intervals Adequacy? The American Statistician. 41(4), 335-337.
- [35] Jones, M. C. (2004). Families of distributions arising from distributions of order statistics. Test 13:1-43.
- [36] Kotz, S., and Nadarajah, S. (2000) Extreme Value Distributions:Theory and Applications. World Scientific.
- [37] Knight, K. (2000). Mathematical Statistics. London, Chapman and Hall.
- [38] Krishna, E. K., Jose, K., Alice, T. and Ristić, M. M. (2013) The Marshall-Olkin Frechet distribution. Communications in Statistics- Theory and Methods, 42(22), 4091-4107 .
- [39] Ly, A., Marsman , M., Verhagen, J., Grasman, R. P., & Wagenmakers, E. J. (2017). A tutorial on Fisher information. Journal of Mathematical Psychology, 80, 40-55. Retrieved from <http://dx.doi.org/10.1016/j.jmp.2017.05.006>.
- [40] Lehmann, E. (1983). Theory of point estimation. New York: Wiley.
- [41] Mann, N. Schafe, R. and Singpurwalla, N. (1974). Methods for Statistical Analysis of Reliability and Life Data. New York: Wiley.

- [59] Sugiura, G. (1978). Further analysis of data by Akaike's information criterion and the finite corrections. *Communications in Statistics- Theory and Methods*, Vol. 7(1), pp. 13–26.
- [60] Serfling, R. (1980). *Approximation Theorems of Mathematical Statistics*. New York: Wiley.
- [61] Sher B. Chhetri, Hongwei Long& Aryal, G. (2017), "The Beta Transmuted Pareto Distribution: Theory and Applications", *Journal of Statistics Applications & Probability*, Vol. 6(2), pp. 243-258.
- [62] Watkins, Joseph.C.(2016). *An Introduction to the Science of Statistics: From Theory to Implementation* Preliminary Edition.
- [63] Zacks, S. (1981b). *The Theory of Statistical Inference*. John Wiley
- [64] Zacks, S. (1971a). *The Theory of Statistical Inference*. John Wiley & Sons.



شكل(2): دالة معدل الخطر لتوزيع BTFR عند قيم مختلفة لمعالم التوزيع



شكل(1): دوال كثافة الاحتمال لتوزيع BTFR عند قيم مختلفة لمعالم التوزيع